

1. 考え方

著者等はこれまで、規則波⁽¹⁾および不規則波⁽²⁾の非線形浅水変形を、WKB法と振動法を用いて解析し、種々の性質について調べてきた。今回は非線形性に因る3次のオーダーでの定常項から求まる定常流について報告する。流れは振動流と同様ボテンシャル流と仮定し、流体の連続性と非回転性についての水深積分による表現から、同様な振動展開を用いて定常流が得られる。このうち、汀線に垂直な成分は岸り流れを、平行な成分は沿岸流を表す。又、ここでは定常流をボテンシャル流れとしているため、沿岸流を用いた Longuet-Higgins⁽³⁾の解とは異っている。しかし、水口等による実験結果との比較から、Longuet-Higginsの解は碎波より沖側で実測値から大きく離れるに対し、著者等の解は碎波より沖側で良く一致することが示された。

2. 解析方法

基礎方程式は、自由水面を有するボテンシャル運動の連続の式と境界条件式をパラメータ δ で水平方向に圧縮して参考文献(2)の(1)式を用いる。解析方法は規則波でも不規則波でも基本的には同じであるから、ここではより一般的なものとして不規則波に対するものを述べる。解としては定常項を加えたスペクトル表現として次の様に仮定する。

$$\begin{aligned} \phi &= \varepsilon^2 \zeta^{(2)} + \dots + \varepsilon \int A^{(1)} e^{i\chi} d\tilde{k} \\ &\quad + \varepsilon^2 \iint A^{(2)} e^{i(x_1+x_2)} d\tilde{k}_1 d\tilde{k}_2 + \dots \end{aligned} \quad (1)$$

$$\eta = \varepsilon^2 \zeta^{(1)} + \dots + \varepsilon \int B^{(1)} e^{i\chi} d\tilde{k}$$

$$+ \varepsilon^2 \iint B^{(2)} e^{i(x_1+x_2)} d\tilde{k}_1 d\tilde{k}_2 + \dots$$

ここで ϕ 、 η は各々速度ボテンシャルと水面変動を表す。又、 ε は非線形性を表すパラメータ。 ζ は定常流の速度ボテンシャル、 ζ はwave setdown、 χ は位相を表す。定常流速 $(U, V, W) = (V, W)$ 、波数と周波数を \tilde{k} 、 ω とする。

$$\nabla \zeta = \delta' V = \delta'(U, V), \quad \zeta_z = W \quad (2)$$

$$\nabla \chi = \delta' \tilde{k}, \quad \chi_t = -\omega \quad (3)$$

(1)式を基礎方程式に代入し、 ε^2 のオーダーで定常項だけをまとめ、さらに δ で展開して ε と δ の各オーダーごとにまとめて解くと、 $\varepsilon^2 \delta^0$ のオーダーでは

$$\left. \begin{aligned} \zeta^{(2,0)} &= \int \frac{1}{2} (\omega^2 - \frac{\tilde{k}^2}{\tilde{w}^2}) \Psi(\tilde{k}) d\tilde{k} \\ W^{(2,0)} &= 0 \end{aligned} \right\} \quad (4)$$

$$\left. \begin{aligned} \varepsilon^2 \delta^1 \text{ の } \delta - \text{ 2-1 は} \\ \zeta^{(2,1)} &= 0 \\ W^{(2,1)} &= (\nabla \cdot V^{(2,0)}) (z + h) - \nabla h \cdot V^{(2,0)} \end{aligned} \right\} \quad (5)$$

$$\left. \begin{aligned} \varepsilon^2 \delta^1 \text{ の } \varepsilon^1 \delta^0 \text{ の解として} \\ A^{(1,0)} &= -i \frac{b}{\tilde{w}} \frac{\cosh \alpha}{\cosh \beta}, \quad B^{(1,0)} = b \\ \alpha &= k(z+h), \quad \beta = kh \\ \Psi(\tilde{k}) &= \langle b(\tilde{k}) b(-\tilde{k}) \rangle \end{aligned} \right\} \quad (6)$$

ここで $\Psi(\tilde{k})$ は水面変動 b のパワースペクトル。さて、前報⁽²⁾と同様の解析から(4)式・(5)式の様にwave setdownと定常流の U 成分は求まつたが、 V ・ W 成分は定められない。これらを決定するためには、流体運動の非回転性と連続性をもう一度考慮する。振動流と定常流を合せて速度成分を $(U, V, W) = (V, W) = (U_0, V_0)$ とすると、我々の座標系で非回転性は

$$\left. \begin{aligned} \delta \frac{\partial w}{\partial x} - \frac{\partial u}{\partial z} &= 0, \quad \delta \frac{\partial w}{\partial y} - \frac{\partial v}{\partial z} = 0 \\ \frac{\partial v}{\partial x} - \frac{\partial u}{\partial y} &= \text{rot } V = 0 \end{aligned} \right\} \quad (7)$$

で表わされる。(1)式と(7)式の第1式・第2式に代入し、 ε^2 のオーダーでまとめ ensemble mean をとると $\varepsilon^2 \delta^0$ の $\delta - \text{ 2-1 }$

$$\frac{\partial U^{(2,0)}}{\partial z} = 0, \quad \frac{\partial V^{(2,0)}}{\partial z} = 0 \quad (8)$$

$$\varepsilon^2 \delta^1 \text{ の } \delta - \text{ 2-1 }$$

$$\frac{\partial U^{(2,1)}}{\partial z} = \frac{\partial W^{(2,0)}}{\partial x} = 0, \quad \frac{\partial V^{(2,1)}}{\partial z} = \frac{\partial W^{(2,0)}}{\partial y} = 0 \quad (9)$$

従つて、 $U^{(2,0)}, V^{(2,0)}, U^{(2,1)}, V^{(2,1)}$ は z に関して一定となる

3. (7)式の左辺式は、 z について $-h$ から 0 まで積分する式。

$$\int_h^0 \eta \partial_z V dz = \eta \left[\int_h^0 V dz + \eta V|_{z=0} + \frac{1}{2} \eta^2 V_z|_{z=0} + \dots \right]$$

$$-\nabla \eta \times V|_{z=0} - \eta \nabla \eta \times V|_{z=0} - \dots - \nabla h \times V|_{z=-h} \quad (10)$$

(10)式に (1) 式を代入し、ensemble mean をとると、

$\delta^2 \delta^1$ のオーダーでは

$$\text{rot} \{ h V^{(2,0)} + \int \frac{k}{\omega} \Psi(K) dK \} = 0 \quad (11)$$

$\delta^2 \delta^1$ のオーダーでは

$$\text{rot} \{ h V^{(2,1)} \} = -2 \int \frac{1}{\omega} B^{(1,0)}(K) \times \nabla B^{(1,0)}(-K) dK \quad (12)$$

一方、連続性方程では

$$\delta \frac{\partial u}{\partial x} + \delta \frac{\partial v}{\partial y} + \delta \frac{\partial w}{\partial z} = 0 \quad (13)$$

同様にして z について $-h$ から 0 まで積分し、(1) 式を代入し、ensemble mean をとると、 $\delta^2 \delta^1$ のオーダーで

$$\nabla \cdot \{ h V^{(2,0)} + \int \frac{k}{\omega} \Psi(K) dK \} = 0 \quad (14)$$

$\delta^2 \delta^1$ のオーダーで

$$\nabla \cdot \{ h V^{(2,1)} \} = 0 \quad (15)$$

$\delta^2 \delta^1$ のオーダーまでの走常流は (11)(12)(14)(15) 式で与えられる。ここで式中 V はオイラー平均流、(11), (14) 式の { } の中の第 2 式は波による質量輸送を表わす。

又、(12) 式の中の $\nabla B^{(1,0)}$ は参考文献 (2) の (7) 式から求めめる。

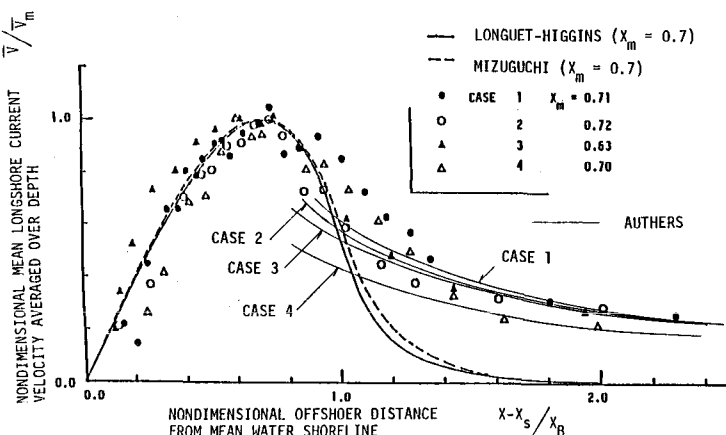


図 1 沿岸流の岸沖流速分布

水口他(1978)の(10)図に著者等の結果を加えたもの

る、規則波に対する実験値との比較がよびまとめ

図 1 は水口等による実験結果を、Longuet-Higgins の解、水口の解、著者等の解と比較したものである。波動場および水底形状は、 y 方向(汀線に平行)に一様とする。規則波であるから

$$\text{重}(K) = \frac{E}{2} \{ \delta(\omega-1) + \delta(\omega+1) \}$$

ここで $\delta(\omega)$ はデルタ関数、 E は規則波のエネルギー

。縦軸は沿岸流速をその最大値で割り、 V 値、横軸は汀線からの距離を平均水面より開始点の距離で割り、 X 値を表す。 (14) 式 (15) 式の積分走数は、汀線に直角方向の全質量輸送量は零として与えられる。(12) 式の積分走数は $V^{(2,1)}$ が沖で零として与えられ、(11) 式の積分走数は、図 1 の最も沖側の実測値と $V^{(2,0)} + V^{(2,1)}$ がほぼ一致する様に与えられた。この図から、Longuet-Higgins や水口等の解は、碎波帯の沖側では実測値と大きく離れていたのにに対し、著者等の解は、積分走数を流れに合うようになされたと言え、流れの様子を良く表わしていることを述べた。このことは、碎波帯の沖側では、流れは逆流やシヤル流れとそのため構造を強く持っていることを表わしていると言えよう。又、碎波帯附近では、碎波帯の沖側でも水平拡散等効果を持ち、Longuet-Higgins の流れの構造も持つていてあるから、今後なんとかの方法で Longuet-Higgins の解と著者等の解が接続されれば、より実測値に近い評価式が得られるものと期待される。

参考文献

- (1) Hamanaka, K. (1984), 4th Congress of APD-IAHR, 1, 301-311
- (2) 水口建一郎他 (1978) 第31回海講, 138-142
- (3) Longuet-Higgins (1970) J. Geophys. Res., 75, 6778-6801
- (4) 水口建一郎他 (1978) 第25回国海講, 425-429